

討6 転炉吹鍊末期における脱炭反応機構の解明

住友金属 和歌山製鉄所 池田隆果 ○丸川雄淳

1. 緒言

転炉精錬における主反応が脱炭反応であることは、言うまでもないことである。転炉の終点制御とか成品の品質安定向上のためには脱炭反応機構を明確にする必要がある。とくに重要なのは吹鍊末期になって、脱炭速度が溶鋼炭素濃度の低下とともにさがっていく吹鍊領域の脱炭反応である。この時期の脱炭反応機構の解析はすでにかなりなされてきているが^{1), 2), 3)}ほとんどの報告が定性的にしかとりあつかっておらず、この末期の脱炭反応の変動の定量的な解明はあまりなされていない。

2. 脱炭反応の変動とスラグT.Feの関係について

試験対象は70t転炉の低炭キルド鋼を用い吹鍊約2分前に吹止めをする二段吹鍊を行なった。試験チヤージ数は46チヤージで、このうち18チヤージについては二次吹鍊の前後で溶鋼とスラグのサンプリングを行なったが、28チヤージについては二次吹鍊前は溶鋼のC%しか調査していない。

2-1 中間吹鍊における脱炭速度の変動調査

脱炭反応は、鋼中炭素濃度が低下していくと不活発になり、脱炭速度が低下する。このことはすでに実験室的¹⁾にも実炉^{2), 3)}においても確かめられ、公知の事実になっている。しかし、実炉における終点制御の困難なことや、各成分の変動をみると、同一炭素濃度に対する脱炭速度はかなり変動しているものと推定できる。まず、この点についてどの程度の変動があるか調べ図1を示した。同図中の縦軸の平均脱炭効率は次式によつて計算した値である。

$$\text{平均脱炭効率}(\%) / (m^3/t) = \frac{\text{中間吹鍊前 } C(\%) - \text{終点 } C(\%)}{\text{中間吹鍊中の } O_2(m^3) / \text{装入量}(t) \times 0.92} \quad (1)$$

図1より、やはりかなり同一炭素濃度に対して脱炭速度が変動していることがわかる。

2-2 吹鍊末期の脱炭反応のばらつき要因調査

図1の斜めの直線は、平均脱炭速度のばらつきの中心と考えられる任意に引いた直線である。この直線を基準として脱炭速度のずれを次式により定量化する。そして、算出した値を用いて脱炭反応の変動における主要要因を調査した。

$$dc / dt = K_1 C + K_2 \quad (2)$$

(2)式を積分すると

$$\text{計算 } O_2 \text{ (理論必要 } O_2 \text{) } (m^3/t) = 6.6 \log \frac{0.35 C_M - 0.015}{0.35 C_E - 0.015} \quad (3)$$

C_M : 中間吹鍊前のC%、 C_E : 終点C%

K_1, K_2 は図1の直線から求まり、 $K_1 = 0.35, K_2 = -0.015$

(3)式により、中間吹鍊期の平均的な必要酸素量が計算できる。したがって、図1の脱炭効率のばらつきは、実際吹込まれた酸素量と(3)式で計算された O_2 量との差をとれば数値として表現できる。

この差 ΔO_2 (実績 O_2 - 計算 O_2) との相関を種々とつて調べてみた。その結果、図2に示すように、脱炭効率のばらつきは、終点のスラグT.Fe%と、非常に強い相関を有することがわかつた。

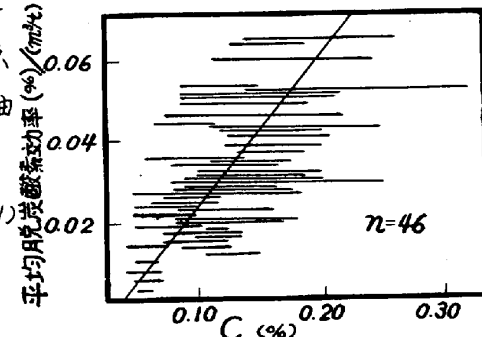


図1. 中間吹鍊における平均脱炭効率

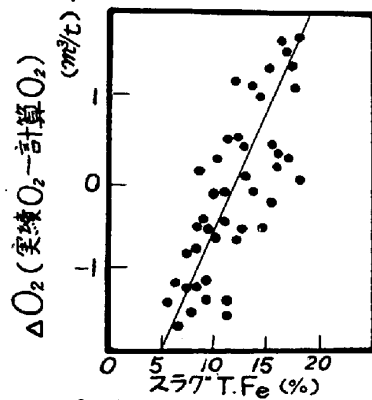


図2. 中間吹鍊における酸素効率のばらつきと終点T.Fe%の関係

2-3 スラグ中の酸素量の多少と脱炭効率の関係

吹込酸素がスラグの方へ移行するか、脱炭に消費されるかの分配の問題をもう少し定量的にみるために、簡単な計算を行なってみる。

図2のスラグT.Fe%と、 ΔO_2 の関係において、スラグT.Fe%の平均を13%と任意に定め、チャージのはうつきで13%を基準にして、各チャージがスラグT.Feの変動に比例してどのくらい酸素がスラグで増減しているかを、次の式で計算し、それを図2の ΔO_2 と対応させてみた。

$$\Delta O_2 \text{ Slag} = K \times W_{\text{Slag}} \times (13\% - T.Fe\%) / W.E.P. \quad (4)$$

$\Delta O_2 \text{ slag}$: T.Fe 13%を基準としてスラグに消費される O_2 (m^3/t)

K: 定数, W_{Slag} : スラグ重量(t), W.E.P.: 終点溶鋼重量(t) 結果を図3に示す。

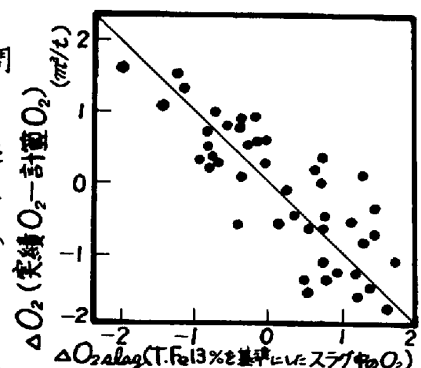


図3. 脱炭速度の変動とスラグT.Feの変動との酸素バランスによる対応

図3の関係が反比例をしていることは脱炭によく多くの酸素が消費された場合、すなわち脱炭酸素効率の高い場合に溶鉄の酸化が少なく、スラグT.Fe%が少ないということである。しかも縦軸と横軸の0を通る45°の線に大体において回帰していることは、非常に興味深いことであって、これはスラグへ移行する酸素と脱炭に消費される酸素の変動が、まったく1対1の関係でバランスしていることを示すものである。

3. 脱炭反応の変動とスラグ滓化の関係について

160t転炉の吹鍊中にあってつるべ式によりメタルとスラグとサンプリングする試験を8チャージ行なった。途中サンプリングは1チャージにつき4回行なった。また、70t転炉において生石灰の非常に少ない(通常の1/4~1/5で平均1kg/t)精錬を行ない塵ガス測定を行なって吹鍊末期の脱炭酸素効率の変化を調査した。試験チャージ数は生石灰の多いもの少ないもの各3チャージ測定した。

3-1 途中サンプリングによるスラグ中の酸素量の推移

図4に吹鍊中ににおけるT.Fe%の推移を示した。ばらつきは大きいが、C%が0.3~0.4以下になって急激にT.Fe%が上昇していくことがわかる。同じような試験および結果は他社⁴⁾においても報告されている。

図5に同じ試験データを用いてPバランスの計算を行なって吹鍊中のスラグ重量の増加状況を調べた。これよりスラグ重量はC%がかなり高いところから徐々に増加し、0.6%ぐらいからその上昇はかなり大きくなることがわかる。

これら図4と図5の結果より吹鍊中のスラグの酸素重量の推移が計算でき、スラグ中の酸素量はだいたい0.6%~0.7%C以降で急激に増加することがわかる。

3-2 スラグ中の酸素增加量をもとにした脱炭酸素効率の計算

図4と図5より計算じで出た酸素上昇カーブとC%との対応式があらわすと次式に示す実験式が得られる。

$$O_{\text{Slag}} = 0.62 + 1.40 e^{-5.0C} \quad (5)$$

$$0.05\% \leq C < 0.80\%$$

この(5)式よりC_i%からC_i-0.01%までの0.01%の脱炭の間にスラグ中の増加する酸素量(ΔO_i)を計算することができる。

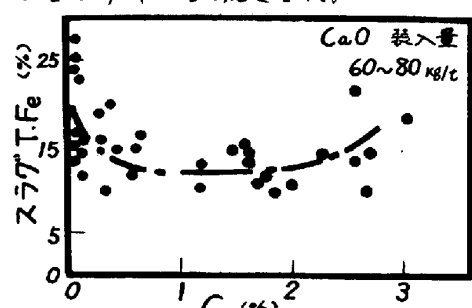


図4. 吹鍊中のスラグT.Fe%の推移

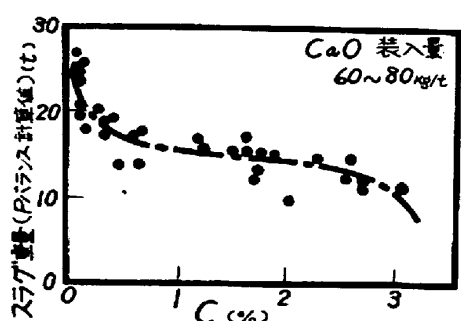


図5. 吹鍊中のスラグ重量の推移

$$\begin{aligned}\Delta O_i(t) &= O_{ci} - 0.01 - O_{ci} \\ &= 1.4 e^{-5.0 c_i - 0.01} - 1.4 e^{-5.0 c_i} \\ &= 0.07 e^{-5.0 c_i} \quad (6)\end{aligned}$$

$$\Delta O_i(m^3) = 0.30 e^{-5.0 c_i} \quad (7)$$

この(7)式を図示すると図6の中の実線のようになる。同時にC%の変化によって三点破線で示した値 $0.093 m^3 / 0.01\% C \cdot t$ は溶鋼のC 0.01%を脱炭するに必要な値である。

また同図6に点線で示される値は0.01%のCが脱炭する間に $1t$ の溶鋼へ溶け込んで増加する酸素量で次式によつて計算されたものである。

$$0\% = 0.0025 / C\% \quad (8), \quad 0(g/t) = 25 / C\% \quad (9)$$

$$\Delta O_i(g/t) = 25 / C_i - 0.01 - 25 C_i \quad (10)$$

$$\Delta O_i(m^3/t) = 1.75 \times 10^{-4} / C_i (C_i - 0.01) \quad (11)$$

以上吹鍊の進行によってC 0.01%を脱炭するに要する酸素量(m^3/t)は0.01%CをCOKするに必要な酸素量および溶鋼中へ溶解する酸素量およびスラグ中へ含有される酸素量の合計となる。(気相へ飛げたO₂およびCO + 1/2 O₂ → CO₂の反応に費されたO₂量が若干あるがここでは考慮に入れない)

すなわち、通常の平均の0.01%Cを脱炭する際に必要な酸素はそのときの溶鋼のC%の実数としてあらわされ次のようになる。

$$\begin{aligned}O_i(m^3/0.01\% C \cdot t) &= 0.093 + 0.30 e^{-5.0 c_i} \\ &\quad + 1.75 \times 10^{-4} / C_i (C_i - 0.01) \quad (12)\end{aligned}$$

これを図式化したのが図7の実線である。

この(12)式を用いて次式により脱炭酸素効率を計算する。

$$\eta(\text{脱炭酸素効率}) \% = (0.093 / O_i) \times 100 \quad (13)$$

これを図式化すると図8の実線で示したカーブとなる。この値は実操業の脱炭酸素効率のカーブによくあつている。すなわち、脱炭酸素効率が最高脱炭速度レベルからはずれ始めるのは0.60~0.80%Cくらいであり、50%になるとのが0.20~0.30%Cである。また溶鋼のみに酸素が溶解するとして計算した結果を同図8に点線で示した。これでは脱炭効率が100%レベルからはずれはじめるのは0.20%Cくらいであつてスラグのない場合は極低炭まで高脱炭効率が続くことがわかる。

3-3. スラグの津化が初期に完了した場合の脱炭効率

図6から図8までの実線で示した曲線は、スラグが吹鍊末期になつて徐々に津化し、スラグ重量が増加する場合である。

が、初期に完全津化している場合について計算してみる。ただしT.Fe%の上昇は図4の破線で示したカーブと同じく通るものとする。スラグ量としては、FeO, Fe₂O₃以外の成分(CaO, MgO, SiO₂, MnO, Al₂O₃, P₂O₅)が溶鋼重量の10%の場合および15%の場合の二例で計算した。

まず初めにスラグ中の酸素重量の上昇について計算すると、実績スラグの(5)式と対応する式が求まる。

$$\text{スラグ } 15\% \text{ の場合 } O_{slag} = 0.92 + 1.12 e^{-7.8c} \quad (14)$$

$$\text{スラグ } 10\% \text{ の場合 } O_{slag} = 0.63 + 0.78 e^{-7.8c} \quad (15)$$

次にこれらの式を用いて0.01%Cを脱炭する間にスラグ中へ移行する酸素量が計算できる。

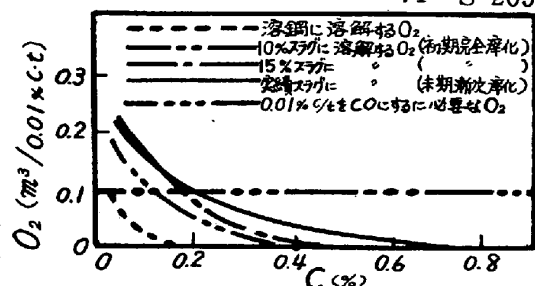


図6. 0.01%Cを脱炭するに必要なO₂量の吹鍊未期の変化

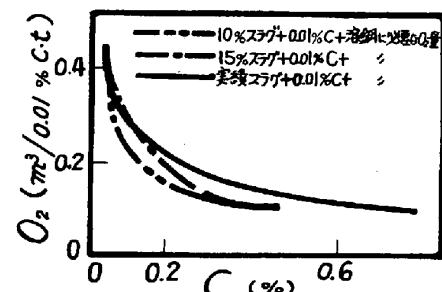


図7. 0.01%Cを脱炭するに必要なO₂量におけるスラグ量および津化時期の影響

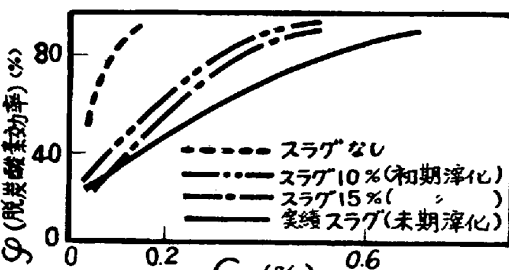


図8. 吹鍊未期における計算脱炭酸素効率の変化

$$\text{スラグ } 15\% \text{ の場合} \quad \Delta O (m^3/t) = 0.37 e^{-7.8C} \quad (16)$$

$$\text{スラグ } 10\% \text{ の場合} \quad \Delta O (m^3/t) = 0.26 e^{-7.8C} \quad (17)$$

(16), (17) 式を図示すると図6の一点鎖線、二点鎖線になる。これを用いて 0.01% C を脱炭する間の全必要酸素とスラグ量別に示すと図7のようになり、脱炭効率は図8の一点鎖線、二点鎖線のようになり末期済化の場合とくらべ最高レベルと低下しはじめる時期はかなり低炭側へずれることがわかる。

3-4 実炉におけるスラグ量多少による脱炭効率の変動調査

調査対象として生石灰を通常チャージ(70~80 kg/t) 1/4 ~ 1/5 の平均17 kg/t にして溶融し、廃ガス流量測定およびガス中の CO, CO₂ の分析を行ない脱炭効率を測定した。結果を図9に示した。通常チャージ(生石灰多量チャージ) における最高脱炭速度レベルから落ちはじめの C % が、0.70 ~ 0.90% とばらついているのに対し、スラグ量の少ないチャージのそれは 0.25 ~ 0.30% C とずっと低炭側にずれている。

4. 考察とまとめ

この報告には二つの内容があり、一つは吹鍊末期の脱炭反応のはらつきにスラグ中の Fe% すなわちスラグの酸化度が大きな影響をもつていうことが示された。その結果は、スラグの酸化度が高くなり、スラグ中へ酸素が多く吸収されたチャージは脱炭反応に消費される酸素がそれだけ少なくなり脱炭酸素効率が低下するということであった。もう一つは、スラグの済化が吹鍊末期に生じた場合、その新らしく済化したスラグへ酸素が吸収されるためにそれだけ脱炭に消費される酸素が少くなり脱炭酸素効率が低下するというものであった。

以上いずれにしてもスラグへの酸素の移行量によって脱炭反応が大きく変動すること、そしてオース吹鍊期からオース吹鍊期への移行についても大きく影響を受けることが共通している。ただ後者の試験結果においては、スラグの済化量あるいは済化時期の変動といふことであるからこれは炉内の気層、スラグ層、メタル層すべてが平衡状態にあるとしても起りえる現象であるが、前の試験の結果はスラグ酸化度の変動といふことで非平衡の状態の存在を考慮に入れなければならない。

このような二つの現象がどのようにして生じるかについての言及はここではさけるが、とにかく実操業転炉における脱炭反応あるいは脱炭酸素効率の変動は C の反応面への供給律速というような溶鋼側における要因の変動が原因したものではなくスラグ側の変動が原因したものであり、スラグ層とメタル層との間の酸素バランスにより脱炭反応あるいは脱炭酸素効率が変動するのであることがわかった。

5. 結 言

転炉吹鍊末期の脱炭反応の変動とくに脱炭速度の低下しはじめる時期のはらつきには、スラグの酸化度、スラグの済化量および済化時期が大きな影響をおよぼしていることがわかつた。また C % の低下とともに生じての脱炭速度の低下は酸素バランスでもって説明されえることがわかつた。

文 献

- 1) 藤井: 鉄と鋼 45 (1959), P. 1248
- 2) 藤井、荒木: 鉄と鋼 51 (1965), P. 2213
- 3) 藤井、荒木、丸川: 鉄と鋼 54 (1968), P. 160
- 4) 川鉄、千葉 第40回製鋼部会資料 (S43.7)

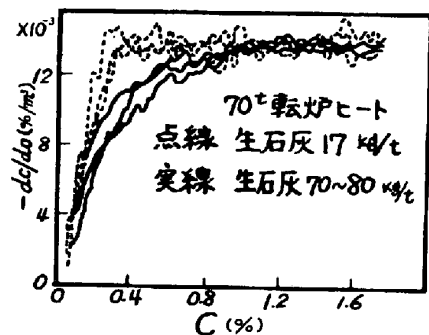


図9. 吹鍊末期における脱炭酸素効率におよぼすスラグ量の多いの影響